

УДК 621.923

В. Н. ГЕЙЧУК, В. А. МОСЕЙЧУК

ПРОИЗВОДИТЕЛЬНОСТЬ МАГНИТНО-АБРАЗИВНОЙ ОБРАБОТКИ КОНЦЕВОГО И ОСЕВОГО ИНСТРУМЕНТА НА РОТОРНЫХ СТАНКАХ

В данной работе выполнен сравнительный анализ производительности магнитно-абразивной обработки на РТК с магнитными системами "кольцевая ванна" двух типов. Первая из них - магнитная система с радиальной загрузкой с вращающимися полюсными наконечниками на постоянных магнитах, вторая - электромагнитная система с торцевой загрузкой с неподвижными полюсными наконечниками. В результате проведенных исследований определено, что более продуктивным является РТК, состоящий из станка со шестишпиндельной роторной головкой и магнитной системы второго типа. При этом величина вспомогательного времени меньше в РТК, который состоит из магнитной системы первого типа и одношпиндельного блока в схвате робота.

Ключевые слова: магнитно-абразивная обработка, роторный станок, робот, производительность, осевой инструмент.

Вступление. Применение высокоскоростных методов резания и агрессивных смазочно-охлаждающих технологических сред (СОТС) делает актуальным повышение эксплуатационных свойств режущего инструмента. Перспективным методом финишной обработки, потенциально способным в комплексе обеспечить необходимые свойства режущего инструмента, в частности концевого и осевого, является магнитно-абразивная обработка (МАО) в кольцевой ванне в условиях больших рабочих зазоров. Этот способ относится к так называемым объемным способам обработки и позволяет обработать детали сложной конфигурации, в т.ч. с полузакрытыми пазами и карманами. Кроме того, данный способ обработки должен обладать высокой производительностью, поскольку предполагает использование станков роторного типа.

Анализ последних достижений и литературы. Ранее этому способу обработки достаточно большое внимание уделили основатели магнитно-абразивной обработки [1, 5, 11, 12] и их последователи [6 - 9, 14, 17]. За последние годы появилось достаточно большое количество работ посвященных объемной МАО деталей различных типов [2, 3, 4, 15, 19]. Большинство этих работ посвящено в основном исследованию влияния магнитно-абразивного инструмента [4, 8, 15], технологических режимов и приспособлений [4, 6, 8, 10, 15, 17, 19] на качество обработки изделий. Некоторые из них [2, 3, 10, 12] посвящены вопросам разработки оборудования для реализации данного способа обработки. Как известно, магнитные системы типа "кольцевая ванна" делятся на два типа: с торцевой [1 - 4, 7, 8, 11, 12, 14, 15, 19] и радиальной загрузкой [1, 6, 9, 11, 12, 17] с неподвижными [2, 3, 4, 7, 8, 11, 12, 14, 15, 19] и вращающимися [1, 11, 12, 19] полюсными наконечниками. Кроме того, еще одной характерной конструктивной особенностью обеих типов магнитных систем является источник магнитного поля: от постоянных магнитов [1, 6, 9, 11, 12] и от электромагнита постоянного или выпрямленного тока [2, 3, 4, 7, 8, 11, 12, 14, 15, 19]. В работе [5] установлено, что в общем случае процесс МАО наиболее эффективен, если магнитный поток создается выпрямленным двухполупериодным электрическим током.

Как отмечается в этих и других работах [17], обрабатываемость материалов магнитно-абразивным методом и производительность является весьма сложной функцией физико-механических свойств заготовок, технологических режимов процесса, параметров магнитно-абразивных порошков (МАП) и СОТС. Особую степень влияния авторы отводят схеме обработки и кинематике процесса. В частности, в работе [19] проведены сравнительные исследования качества обработки в магнитных системах - электромагнитной с торцевой загрузкой с неподвижными полюсными наконечниками [18] и с радиальной загрузкой с вращающимися полюсными наконечниками на постоянных магнитах [20]. Качество обработки (по показателям: шероховатость поверхностей, округление кромок, микротвердость и остаточные напряжения) оказались выше при обработке в магнитной системе первого типа. Автором [19] было высказано предположение, что одной из основных причин разности в качестве обработки по обеим схемам является разная кинематика процессов.

Однако сравнительного анализа производительности обработки по этим двум принципиальным схемам в доступных источниках не обнаружено.

Цель работы. Целью данной работы является сравнительный анализ производительности магнитно-абразивной обработки в магнитных системах с радиальной загрузкой с вращающимися полюсными наконечниками на постоянных магнитах и электромагнитной с торцевой загрузкой с неподвижными полюсными наконечниками.

Постановка задачи. Для сравнительного анализа были выбраны две принципиальных схемы обработки. На базе магнитной системы с радиальной загрузкой с вращающимися полюсными наконечниками на постоянных магнитах построены станки серий MF 62 и MF 72 фирмы Magnetfinish GmbH, Германия [20]. Общий вид станка серии MF 72 и схема движений, реализуемых в станках, показана на рис. 1. Станки предназначены для снятия заусенцев, округления режущих кромок и полировки поверхностей на осевых и концевых режущих инструментах диаметром $0,1 \div 16$ мм или $0,1 \div 25$ мм. MF 62C предназначен для обработки инструментов диаметром от 0,1 мм до 25 мм.

© В. Н. Гейчук, В. А. Мосейчук, 2015

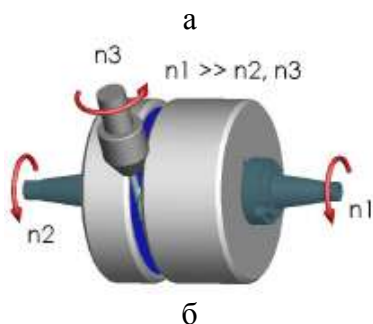


Рис. 1 – Станок серії MF 72: а – общий вид станка серії MF 72; б – схема рухів, реалізованих в станках

Станки имеют два различных модуля для обработки концевой рабочей и цилиндрической частей инструментов. Это позволяет обрабатывать, например, главные режущие кромки сверл, сферических концевых фрез, и режущие кромки на цилиндрической части, а также полировать канавки. Станки обеих серий имеют устройства автоматической загрузки МАО. Загрузку / выгрузку заготовок в рабочую зону, начальную установку и движение круговой подачи осуществляют поштучно робот. Станки серии MF 72 имеют два магазина на 120 заготовок, как заявляет фирма, для 24 часовой непрерывной работы. Станки серии MF 62 поставляются как с магазином, так и без него.

На кафедре конструирования станков и машин НТУУ "КПІ" была спроектирована гамма роторных станков [3] для МАО деталей сложной формы, построенных с использованием модульного принципа. Одним из основных модулей является магнитная система типа "кольцевая ванна" с торцевой загрузкой с неподвижными полюсными наконечниками [18]. На базе станка для обработки концевого и осевого инструментов разработан робото-технический комплекс (РТК) (рис. 2).

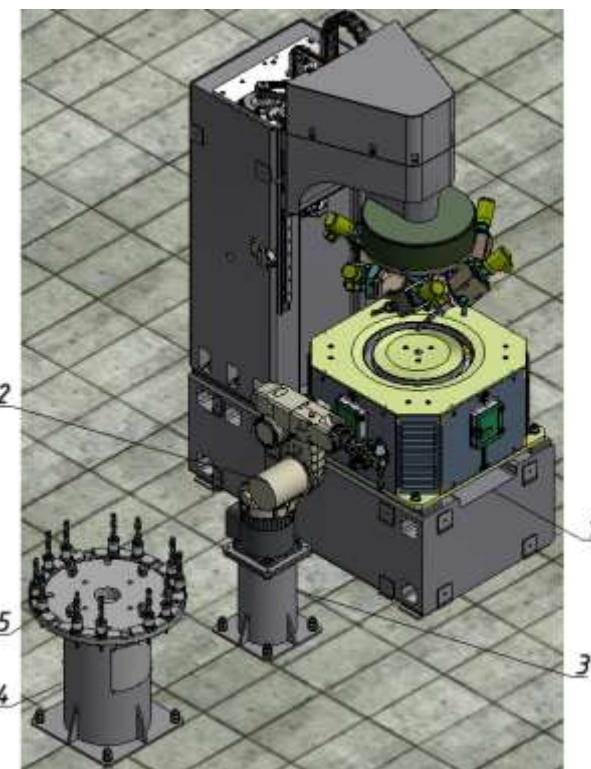


Рис. 2 - Общий вид РТК для МАО концевого и осевого инструмента

РТК предназначен для снятия заусенцев, округления режущих кромок и полировки и упрочнения поверхностей на осевых и концевых режущих инструментах диаметром $0,1 \div 25$ мм. В состав РТК входят шестишиндельный роторный станок 1, универсальный легкий шестиосный промышленный робот (ПР) 2 модели KR5-SIXX-R650 компании KUKA Roboter GmbH (Германия) с ангулярной системой координат, установленный на колонне 3; поворотный стол индексации 4 со сменным дискообразным лотком 5, в котором размещаются 18 заготовок, установленных в приспособлениях-спутниках (ПС). Ограждение рабочей зоны РТК на рисунке не показано. ПР 2 последовательно извлекает из шпинделя каждой рабочей головки готовые детали, устанавливает в гнездо лотка 5, извлекает из гнезда заготовку и устанавливает в зажимное электромеханическое приспособление рабочей головки.

Во время обработки заготовки осуществляют следующие движения:

- главное движение резания со скоростью V_p - вращение роторной головки;
- движение основной круговой подачи со скоростью V_s - вращение заготовки вокруг своей оси;
- вертикальное перемещение роторной головки со скоростью V_z – движение врезания.

Сравнительные расчеты производительности выполнялись для сверл диаметром 10 мм, общей длиной $L = 184$ мм и с длиной рабочей части $l = 121$ мм, ориентировочный средний годовой объем выпуска деталей $N = 50000$ шт; среднее количество дней, на которые нужно обеспечить запас деталей $t = 5$.

Материалы и результаты исследования.
РТК со шестишпиндельной роторной головкой и магнитной системой с торцевой загрузкой

Последовательность обработки: опускание роторной головки на высоту рабочей зоны ($B_{PH} = 30 \text{ мм}$); позонная по длине рабочей части инструмента обработка при ступенчатом перемещении на высоту рабочей зоны со скоростью вертикальной подачи $S_Z = 250 \text{ мм/мин}$ [8] и с промежуточными остановками подачи на $t_{ост} = 35 \text{ с}$ (0,58 мин); вывод инструмента из рабочей зоны на рабочей подаче.

Штучно-калькуляционное время [13]:

$$T_{um-k} = T_{um} + T_{n_3}/n, \quad (1)$$

где T_{um} - штучное время, затрачиваемое на обработку одной заготовки;

T_{n_3} - подготовительно-заключительное время, затрачиваемое на всю партию, включающее время на подготовку и наладку РТК;

$n = (N \cdot t)/F = 976 \text{ шт}$ - количество заготовок в партии;

$F \approx 256 \text{ дн.}$ - годовой фонд рабочего времени в днях.

Штучное время:

$$T_{um} = T_{om} + T_{\partial} + T_{ob} + T_n, \quad (2)$$

где T_{om} - основное технологическое время;

T_{∂} - вспомогательное время, включающее в себя: время на установку заготовки в рабочую зону и удаление детали из рабочей зоны T_y ; время на управление станком РТК T_{yn} ; время холостых

ходов T_{xx} ; время индексации T_{ih} (поворот лотков с заготовками, поворот роторной головки на одну позицию); время на замену порции отработанного порошка; время на контрольные измерения T_k :

$$T_{\partial} = T_y + T_{yn} + T_{xx} + T_{ih} + T_k; \quad (3)$$

T_{ob} - время технического и организационного обслуживания рабочего места;

T_n - время перерывов на отдых и физиологические потребности.

Для данного РТК принимаем: $T_n = 0$; $T_k = 0$, так это время полностью перекрывается оперативным временем $T_{on} = T_{om} + T_{\partial}$, и контрольные операции проводятся по окончании цикла обработки и вне РТК; $T_{ih} = 0$, так как необходима только периодическая замена порции магнитно-абразивного порошка, время на его замену входит составляющей в T_{ob} ; $T_{yn} = 0$, так как управление автоматическим циклом осуществляется системой ЧПУ в сочетании с контроллером ПР.

Время технического и организационного обслуживания принимаем в размере 1% от оперативного времени: $T_{ob} = 0,01 \cdot T_{on}$.

Длину рабочего хода определяем с учетом угла наклона оси заготовки $\zeta = 50^\circ$.

$$L_{p.x.} = l \cdot \cos(\zeta) = 78 \text{ мм}. \quad (4)$$

Количество промежуточных остановок $i_o = L_{p.x.}/B_{PH} = 2,6$; принимаем $i_o = 3$.

Основное технологическое время при количестве одновременно обрабатываемых заготовок $i_{заг} = 6$:

$$T_{om} = 2L_{p.x.}/(i_{заг} \cdot S_Z) + i_o \cdot t_{ост}/i_{заг} = 0,394 \text{ мин..} \quad (5)$$

Время холостых ходов:

$$T_{xx} = 2L_{x.x.}/(i_{заг} \cdot S_{бн}) = 0,025 \text{ мин.}, \quad (6)$$

где $L_{x.x.} = 222 \text{ мм}$ - длина холостого хода;

$S_{бн} = 3000 \text{ мм/мин}$ - скорость быстрого подвода / отвода шпиндельной бабки.

Для определения времени на установку и смену заготовок необходимо определить время движения схвата ПР (рис. 3, а) по траектории (рис. 3, б) при выполнении цикла снятия и установки приспособлений-спутников.

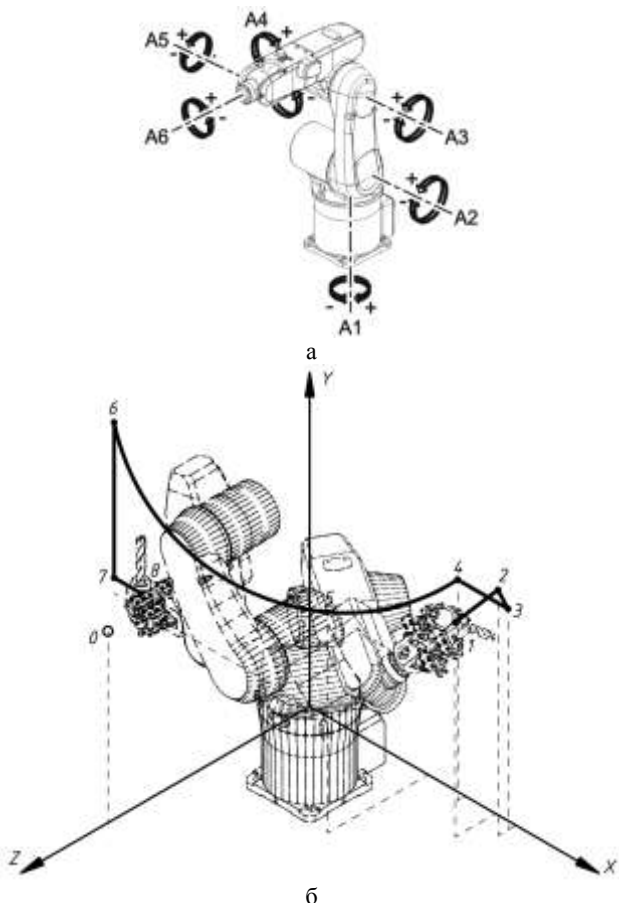


Рис. 3 - ПР мод. KR5-SIXX-R650 : а – оси ПР мод. KR5-SIXX-R650; б – траектория движения его схвата при выполнении цикла установки и замены приспособлений-спутников (координаты точек траектории приведены в таблице 1)

Расчет времени движения рабочего органа ПР по участкам траектории выполнялся при максимально

допустимых относительных угловых скоростях, при этом учитывалось, что контроллер ПР при интерполяции по осям снижает фактические угловые скорости быстрых перемещений. Время движения принималось

по наибольшему времени для данного участка. Результаты расчета приведены в таблице 2. Цикл работы лотка и время цикла представлены в таблице 3.

Таблица 1 - Координаты характерных точек траектории движения рабочего органа ПР (по рис. 3)

№ точки	Координаты (x; y; z), мм	Угловые координаты по осям ПР, град					
		A1	A2	A3	A4	A5	A6
0	(0; 492; 598,3)	0,0°	-90,0°	+90,0°	0,0°	0,0°	0,0°
1	(551; 551,2; 119,7)	-60,54°	-63,76°	+75,98°	-133,05°	+88,99°	+76,57°
2	(611; 630,8; 52,9)	-70,09°	-47,15°	+35,14°	-130,141°	+65,64°	+76,57°
3	(611; 567,3; 22,8)	-78,15°	-61,77°	+70,17°	-137,68°	+74,09°	+86,32°
4	(461; 567,3; 22,8)	-73,27°	-94,44°	+108,68°	-136,82°	+81,63°	+86,78°
5	(351,3; 567,3; 299,4)	-30,0°	-94,44°	+108,68°	-136,82°	+81,63°	+86,78°
6	(-580; 439; 0)	+90,0°	-96,22°	+106,0°	-180,0°	+9,78°	0,0°
7	(-580; 40,2; 0)	+90,0°	-48,15°	+136,87°	-180,0°	+88,71°	0,0°
8	(-500,4; 40,2; 0)	+90,0°	-52,7°	+153,42°	-180,0°	+100,71°	0,0°

Примечание: точка 0 - исходное положение ПР; участок 2-3 - установка ПС в рабочий шпиндель или снятие; участок 4-3 - отвод ПС от шпиндельной бабки или подвод к ней; участок 4-5 - выход из рабочего пространства станка в свободную зону; участок 6-7 установка ПС на лоток или снятие с лотка; точки 1 и 8 - положение перед вводом захватного устройства (ЗУ) для захвата приспособления-спутника (ПС), в шпинделе или в лотке (соответствуют участкам траектории 1-2 и 8-7)

Таблица 2 - Продолжительность движения по участкам траектории при максимально допустимых угловых скоростях ПР с максимальной полезной нагрузкой 5 кг

Участок	Диапазоны изменения углов Δ (град), скорости (град/с), времени движения t (с) по осям и максимальное время t_{\max} (с)																t_{\max}		
	A1			A2			A3			A4			A5			A6			
	Δ	v	t	Δ	v	t	Δ	v	t	Δ	v	t	Δ	v	t	Δ	v	t	
0-8	90	375	0,24	37,3	300	0,12	53,4	375	0,14	180	410	0,44	100,7	410	0,25	0	660	0,0	0,44
0-1	60,6	375	0,16	26,3	300	0,09	14,02	375	0,04	133,1	410	0,33	89,0	410	0,22	76,6	660	0,12	0,33
1-2	9,6	375	0,03	16,6	300	0,06	40,9	375	0,11	3,0	410	0,01	23,4	410	0,06	0,0	660	0,0	0,11
2-3	8,1	375	0,03	18,7	300	0,07	35,1	375	0,1	7,6	410	0,02	8,5	410	0,02	9,8	660	0,02	0,1
3-4	4,9	375	0,02	32,7	300	0,11	38,5	375	0,11	0,9	410	0,002	7,6	410	0,02	0,5	660	0,001	0,11
4-5	43,3	375	0,12	0,0	300	0,0	0,0	375	0,0	0,0	410	0,0	0,0	410	0,0	0,0	660	0,0	0,12
5-6	120	375	0,32	1,8	300	0,06	2,7	375	0,008	43,2	410	0,11	71,9	410	0,18	86,8	660	0,14	0,32
6-7	0,0	375	0,0	48	300	0,16	30,9	375	0,09	0,0	410	0,0	79,0	410	0,2	0,0	660	0,0	0,2
7-8	0,0	375	0,0	4,6	300	0,016	16,6	375	0,05	0,0	410	0,0	12,0	410	0,03	0,0	660	0,0	0,05
1-8	151	375	0,41	37,3	300	0,13	63,5	375	0,17	180	410	0,44	101,0	410	0,25	76,6	660	0,12	0,44

Таблица 3 - Цикл работы лотка емкостью 18 инструментов (индексация осуществляется через 2 позиции)

№ цикла	Запись цикла	Время, мин.
I_1	$I_1 \rightarrow 4I_2 \rightarrow I_3 \rightarrow 2(I_1 \rightarrow 4I_5 \rightarrow I_6) \rightarrow I_1 \rightarrow 4I_2 \rightarrow I_3$	3,156
I_1	$(08) \rightarrow (87) \rightarrow 3 \rightarrow (76) \rightarrow \frac{(65) \rightarrow (54) \rightarrow (43) \rightarrow (32) \rightarrow 3_{III} \rightarrow P \rightarrow (21)}{IIPC} \rightarrow \frac{(18)}{IIPB}$	0,072
I_2	$(87) \rightarrow 3 \rightarrow (76) \rightarrow \frac{(65) \rightarrow (54) \rightarrow (43) \rightarrow (32) \rightarrow 3_{III} \rightarrow P \rightarrow (21)}{IIPC} \rightarrow \frac{(18)}{IIPB}$	0,063
I_3	$(87) \rightarrow 3 \rightarrow (76) \rightarrow \frac{(65) \rightarrow (54) \rightarrow (43) \rightarrow (32) \rightarrow 3_{III} \rightarrow P \rightarrow (21) \rightarrow (10)}{IIPC}$	0,055
I_4	$IIPB \rightarrow (01) \rightarrow (12) \rightarrow 3 \rightarrow P_{III} \rightarrow (23) \rightarrow (34) \rightarrow (45) \rightarrow (56) \rightarrow (67) \rightarrow P \rightarrow (78) \rightarrow IIPC \rightarrow (87) \rightarrow 3 \rightarrow (76) \rightarrow (65) \rightarrow (54) \rightarrow (43) \rightarrow (32) \rightarrow 3_{III} \rightarrow P \rightarrow (21)$	0,213

Таблица 3 – (окончание)

№ цикла	Запись цикла	Время, мин.
Π_5	$IШБ \rightarrow (12) \rightarrow 3 \rightarrow P_{III} \rightarrow (23) \rightarrow (34) \rightarrow (45) \rightarrow (56) \rightarrow (67) \rightarrow P \rightarrow (78) \rightarrow ИПС \rightarrow (87) \rightarrow 3 \rightarrow (76) \rightarrow (65) \rightarrow (54) \rightarrow (43) \rightarrow (32) \rightarrow 3_{III} \rightarrow P \rightarrow (21)$	0,174
Π_6	$IШБ \rightarrow (12) \rightarrow 3 \rightarrow P_{III} \rightarrow (23) \rightarrow (34) \rightarrow (45) \rightarrow (56) \rightarrow (67) \rightarrow P \rightarrow (78) \rightarrow ИПС \rightarrow (87) \rightarrow 3 \rightarrow (76) \rightarrow (65) \rightarrow (54) \rightarrow (43) \rightarrow (32) \rightarrow 3_{III} \rightarrow P \rightarrow (21) \rightarrow (10)$	0,18
Π_7	$PШБ \rightarrow (01) \rightarrow (12) \rightarrow 3 \rightarrow P_{III} \rightarrow (23) \rightarrow (34) \rightarrow (45) \rightarrow (\frac{56) \rightarrow (67) \rightarrow P \rightarrow (78) \rightarrow (81)}{ИШБ})$	0,152
Π_8	$(12) \rightarrow 3 \rightarrow P_{III} \rightarrow (23) \rightarrow (34) \rightarrow (45) \rightarrow (\frac{56) \rightarrow (67) \rightarrow P \rightarrow (78) \rightarrow (81)}{ИШБ})$	0,096
Π_9	$(12) \rightarrow 3 \rightarrow P_{III} \rightarrow (23) \rightarrow (34) \rightarrow (45) \rightarrow (\frac{56) \rightarrow (67) \rightarrow P \rightarrow (78) \rightarrow (80)}{ИШБ})$	0,063

Примечание: 3 - зажим в захватном устройстве; P - разжим захватного устройства; 3_{III} - зажим в рабочем шпинделе; P_{III} - высвобождение из рабочего шпинделя; $PШБ$ - позиционирование шпиндельной бабки и рабочего шпинделя; $ИПС$ - индексация поворотного стола лотка (паллеты); $IШБ$ - индексация шпиндельной бабки, позиционирование рабочего шпинделя

Продолжительность цикла рассчитана с учетом коэффициента динамичности $k_d = 1,2$, который учитывает время на разгон и торможение для повышения точности позиционирования на наиболее характерных участках.

Результаты расчета штучно-калькуляционного времени для данного РТК представлены в таблице 4.

Таблица 4 – Заключительные результаты расчета для магнитной системы с торцевой загрузкой

Время на замену лотка и повторный запуск программы цикла обработки $T_{зм/л}$, мин.	1,0
Время на установку заготовки в рабочую зону и удаление детали из рабочей зоны T_y , мин.	0,23
Вспомогательное время T_δ , мин.	0,255
Оперативное время T_{on} , мин.	0,649
Время технического и организационного обслуживания $T_{об}$, мин.	0,006
Штучное время $T_{шт}$, мин.	0,655
Подготовительно-заключительное время $T_{нз} = (10 \dots 20)/976$, мин.	0,01...0,02
Штучно-калькуляционное время $T_{шт-к}$, мин.	0,665...0,675

РТК с одношпиндельным рабочим блоком на кисти робота и магнитной системой с радиальной загрузкой

На кисти универсального шестиосного ПР KR5-SIXX-R650 установлен шпиндельный блок с нормализованным трехкулачковым пневматическим зажимным устройством, например, производства компании FESTO [21]. Обрабатываемые заготовки размещаются на специальном лотке. После зажима заготовки ин-

струмента в захватном устройстве, робот вынимает заготовку из лотка, переносит в рабочую зону магнитной системы и осуществляет его обработку с тангенциальной или с радиальной подачей [6, 20] величиной $S_p = S_T = 250$ мм/мин. Подача может осуществляться как на входе так и на выходе из рабочей зоны. При этом ПР может менять режим обработки и угол наклона оси заготовки. По окончании обработки ПР устанавливает обработанный инструмент в лоток, отводит кисть от лотка, выполняется индексация поворотного стола и цикл повторяется.

Длина рабочего хода при данной схеме обработки $L_{p.x.} = 121$ мм, длина хода на рабочей подаче при вводе и выводе инструмента $L_{nep.} = 10 \dots 15$ мм.

Основное технологическое время при тангенциальной подаче с одной остановкой длительностью t_{ocm} :

$$T_{\text{от(т)}} = 2 \cdot \frac{L_{p.x.} + L_{nep.}}{S_T} + t_{ocm}. \quad (7)$$

Основное технологическое время при радиальной подаче с тремя промежуточными остановками $i_{ocm} = 3$, угол наклона оси заготовки 40° :

$$T_{\text{от(р)}} = 2 \cdot \frac{L_{p.x.} + L_{nep.}}{S_p} + i_{ocm} \cdot t_{ocm}. \quad (8)$$

Определяем вспомогательное время, траектория движения рабочего органа ПР будет подобной и близкой к траектории движения при предыдущей компоновке. Учитывая относительно большие скорости движения, ориентировочно траектория будет включать участки 0-6 или близка 0-8, 8-7, 7-6, 6-4, 4-8 и 4-0 или близка 1-0 (см. рис 3, табл. 1 и 2). Цикл для лотка емкостью 18 инструментов (табл. 5).

Результаты расчета штучно-калькуляционного времени для данного РТК представлены в таблице 6.

Таблица 5 - Цикл работы лотка емкостью 18 инструментов (коэффициент динамичности $k_d = 1,2$)

№ цикла	Запись цикла	Время, мин.
Π	$\Pi_1 \rightarrow 16\Pi_2 \rightarrow \Pi_3$	1,405
Π_1	$(06) \rightarrow (67) \rightarrow 3 \rightarrow (78) \rightarrow (84) \rightarrow (MAO) \rightarrow (48) \rightarrow (87) \rightarrow P \rightarrow (76)$	0,07
Π_2	$ИПС \rightarrow (67) \rightarrow 3 \rightarrow (78) \rightarrow (84) \rightarrow (MAO) \rightarrow (48) \rightarrow (87) \rightarrow P \rightarrow (76)$	0,078
Π_3	$ИПС \rightarrow (67) \rightarrow 3 \rightarrow (78) \rightarrow (84) \rightarrow (MAO) \rightarrow (48) \rightarrow (87) \rightarrow P \rightarrow (76) \rightarrow (60)$	0,087

Таблица 6 – Заключительные результаты расчета для магнитной системы с радиальной загрузкой

Время на замену лотка и повторный запуск программы цикла обработки $T_{змп}$, мин.		1,0
Время на установку заготовки в рабочую зону и удаление детали из рабочей зоны T_y , мин.		0,14
Вспомогательное время T_o , мин.		0,14
Оперативное время	$T_{оп(т)}$, мин.	1,808
	$T_{оп(р)}$, мин.	2,504
Время технического и организационного обслуживания $T_{об}$, мин.		0,02
Штучное время	$T_{шп(т)}$, мин.	1,828
	$T_{шп(р)}$, мин.	2,524
Подготовительно-заключительное время $T_{нз} = (10..20)/976$, мин.		0,01...0,02
Штучно-калькуляционное время	$T_{ш-к(т)}$, мин.	1,84...1,85
	$T_{ш-к(р)}$, мин.	2,54...2,55

Выводы.

1. В результате проведенных исследований определено, что более продуктивной РТК со шестишиндельной роторной головкой, несмотря на то, что продолжительность вспомогательного времени меньше в РТК с одношиндельными рабочими блоком в руке робота.

2. Резервом для повышения производительности обработки является роторная линия на базе магнитной системы с вращающимися полюсными наконечниками с радиальной загрузкой. Предварительные проработки показывают, что главными недостатками магнитной системы с торцевой загрузкой (в данном случае) является совпадение главного движения резания и движения транспортировки и технические сложности ввода / вывода заготовок в кольцевую ванну.

Список литературы: 1. Барон Ю.М. Магнитно-абразивная и магнитная обработка изделий и режущих инструментов / Барон Ю. М. - Л.: Машиностроение, 1986. – 176 с. 2. Гаврушкевич А.

Ю. Анализ кинематики магнитно-абразивной обработки цилиндрических зубчатых колес в кольцевой ванне [Электронний ресурс] / А. Ю. Гаврушкевич, В. Н. Гейчук, // Машиностроение: сетевий електронний научний журнал. - 2015. - Том 3, № 1. С. 21-28. Режим доступу до статті: <http://elibrary.ru/contentP.asp?issueid=1364921>. 3. Гейчук В. М. Синтез кинематики процесу магнітно-абразивної обробки в кільцевій ванні: дис. ... докт. техн. наук: 05.03.01 / Гейчук Володимир Миколайович. - Київ, 2012. – 472 с. 4. Джулій Д.Ю. Підвищення якості багатогранних непереточуваних твердосплавних пластин при магнітно-абразивному обробленні в кільцевій ванні: дис. ... канд. техн. наук: 05.03.01. - Київ, 2014. - 175 с. 5. Коновалов Е.Г. Чистовая обработка деталей в магнитном поле ферромагнитными порошками / Е.Г. Коновалов, Г.С. Шульев. – Минск: Наука и техника. 1967. – 125 с. 6. Литвиненко В.А. Финишная обработка фасонных поверхностей с высокими требованиями к качеству методом МАП с вращающейся рабочей зоной: дис. ...канд. техн. наук: 05.02.08 / Литвиненко Валентина Алексеевна. – Ленинград, - 1985. – 259 с. 7. Майборода В.С. Магнитно-абразивная обработка специальных деталей: дис. ...канд. техн. наук: 05.02.08 / Майборода Виктор Станиславович. – Киев, - 1988. – 170 с. 8. Майборода В.С. Основи створення і використання порошкового магнітно-абразивного інструменту для фінішної обробки фасонних поверхонь: дис. ...докт. техн. наук: 05.03.01 / Майборода Віктор Станіславович. – Київ, 2001. – 404 с. 9. Михолап С.В. Магнітно-абразивна обработка наружних поверхостей трубчатых изделий: автореф. дисс. на соискание научн. степени канд. техн. наук: 05.03.01, 05.02.08 / С.В. Михолап. - Минск, 1992. - 20 с. 10. Нижник С.Н. Оборудование для магнитно-абразивной обработки сложнофасонных деталей ГТД / С.Н. Нижник, В.И. Куципак, В.А. Матюхин, О.В. Покатов, В.Н. Фандеев // Авиационно-космическая техника и технология, 2004, № 7 (15). С. 220-224. 11. Сакулович Ф.Ю. Основы магнитно-абразивной обработки/ Ф.Ю. Сакулович – Мин.: Наука и техника, 1981. – 328 с. 12. Скворчевский Н.Я. Эффективность магнитно-абразивной обработки/Н.Я. Скворчевский, Э.Н. Федорович, П.И. Ящерицын – Мин.: Навука і тэхніка, 1991. – 215 с. 13. Справочник технолога-машиностроителя. В 2-х т. Т. 2 / Под ред. А. Г. Косиловой и Р. К. Мещерякова. – 4-е изд., перераб. и доп. – М.: Машиностроение, 1985. 496 с. 14. Степанов О.В. Исследование процесса формирования магнитно-абразивного порошкового инструмента для обработки деталей сложной формы: дис. ... канд. техн. наук: 05.16.06/Степанов Олег Васильевич. - Киев, 1997. - 145 с. 15. Ткачук И.В. Формування магнітно-абразивного інструменту зі стабільними властивостями в робочих зазорах кільцевого типу дис. ... канд. техн. наук: 05.03.01. - Київ, 2015. - 175 с. 17. Хомич Н. С. Магнітно-абразивна обработка изделий: моногр. - Минск: БНТУ, 2006. - 218 с. 18. Пат. 84464 Україна В24В 31/112 (2006.01). Магнітна система для об'ємної обробки феромагнітними порошками / В.М. Гейчук, В.С. Майборода; заявник та патентовласник. Національний технічний університет України "КПІ". а200611768; заявл. 08.11.2006; опубл. 27.10.2008; бюл. № 20. 19. Byelzaev O. Erhöhung der Leistungsfähigkeit von HSS-Spiralbohrern durch Einsatz der magnetabrasiven Bearbeitung//Dissertation. - 2008. Magdeburg. 20. <http://www.magnetfinish.com>. 21. <http://www.festo.com>.

Bibliography (transliterated): 1. Baron Yu.M. Magnitno-abrazivnaya i magnitnaya obrabotka izdeliy i rezhushchikh instrumentov / Baron Yu. M. - L.: Mashinostroenie, 1986. – 176 P. 2. Gavrushkevich A. Yu. Analiz kinematiki magnitno-abrazivnoy obrabotki tsilindricheskikh zubchatykh koles v kol'tsevoy vanne [Elektronnyi resurs] / A. Yu. Gavrushkevich, V. N. Geichuk, // Mashinostroenie: setevoy elektronnyi nauchnyi zhurnal. - 2015. - Vol 3, No 1. P. 21-28. Rezhim dostupu do statii: <http://elibrary.ru/contentP.asp?issueid=1364921>. 3. Geichuk V. M. Syntez kinematyky protsesu mahnitno-abrazivnoi obraboky v kiltsevii vanni: dyP. ... dokt. tekhn. nauk: 05.03.01 / Geichuk Volodymyr Mykolaiovich. Kiev, 2012. – 472 c. 4. Dzhlulii D.Iu. Pidvyshchennia yakosti bahatohrannikh noperetochuvanykh tverdosplavnykh plastyn pry mahnitno-abrazivnomu obrablenni v kiltsevii vanni: dyP. ... kand. tekhn. nauk: 05.03.01. - Kiev, 2014. - 175 P. 5. Konovalov E.G. Chistovaya obrabotka detaley magnitnym pole ferromagnitnymi poroshkami / E.G. Konovalov, G.P. Shulev. - Minsk: Nauka i tekhnika. - 1967. – 125 P. 6. Litvinenko V.A. Finishnaya obrabotka fasonykh povervhnostey s vysokimi trebovaniyami

yami k kachestvu metodom MAP s vrashchayushcheysya rabochey zonoy: diP. ...kand. tekhn. nauk: 05.02.08 / Litvinenko Valentina Alekseevna. – Leningrad, - 1985. – 259 P. 7. Mayboroda V.P. Magnitno-abrazivnaya obrabotka spetsial'nykh detaley: diP. ...kand. tekhn. nauk: 05.02.08 / Mayboroda Viktor Stanislavovich. – Kiev, - 1988. – 170 P. 8. Maiboroda V.P. Osnovy stvorennia i vykorystan- nia poroshkovoho mahnitno-abrazivnogo instrumentu dlia finishnoi obrobky fasonnykh poverkhon: dyP. ...dokt. tekhn. nauk: 05.03.01 / Maiboroda Viktor Stanislavovych. – Kiev, 2001. – 404 P. 9. MikholaP. V. Magnitno-abrazivnaya obrabotka naruzhnykh poverkhnostey trubchatykh izdeliy: avtoref. disP. na soiskanie nauchn. stepeni kand. tekhn. nauk: 05.03.01, 05.02.08 / P.V. MikholaP. - Minsk, 1992. - 20 P. 10. Nizhnik P.N. Oborudovanie dlya magnitno- abrazivnoy obrabotki slozhnaya-sonnykh detaley GTD / P.N. Nizhnik, V.I. Kutsipak, V.A. Matyukhin, O.V. Pokatov, V.N. Fandeev // Aviatsionno-kosmicheskaya tekhnika i tekhnologiya, 2004, No 7 (15). C. 220-224. 11. Sakulevich F.Yu. Osnovy magnitno- abrazivnoy obrabotki/F.Yu. Sakulevich – Minsk: Nauka i tekhnika, 1981. – 328 P. 12. Skvorchevskiy N.Ya. Effektivnost' magnitno- abrazivnoy obrabotki/N.Ya. Skvorchevskiy, E.N. Fedorovich, P.I. Yashcheritsyn – Minsk: Navuka i tekhnika, 1991. – 215 P. 13. Spravochnik tekhnologa-mashinostroityela. V 2-kh t. Vol. 2 /Pod red. A. G. Kosilovoy i R. K. Meshcheryakova. – 4-e izd., pere-

rab. i doP. – Moscow: Mashinostroenie, 1985. 496 P. 14. Stepanov O.V. Issledovanie protsessu formirovaniya magnitno-abrazivnogo poroshkovogo instrumenta dlya obrabotki detaley slozhnoy formy: diP. ... kand. tekhn. nauk: 05.16.06/Stepanov Oleg Vasil'yevich. - Kiev, 1997. - 145 c. 15. Tkachuk I.V. Formuvannia mahnitno- abrazivnogo instrumentu zi stabilnymy vlastyvostiamy v robochykh zazorakh kiltsevoho typu dyP. ... kand. tekhn. nauk: 05.03.01. - Kiev, 2015. - 175 P. 17. Khomich N. P. Magnitno-abrazivnaya obrabotka izdeliy: monogr. - Minsk: BNTU, 2006. - 218 P. 18. Pat. 84464 Ukraina V24V 31/112 (2006.01). Mahnitna sistema dlia ob'iemnoi obrobky feromahnitnymy poroshkamy / V.M. Geichuk, V.P. Maiboroda; zaivnyk ta patentovlasnyk. Natsionalnyi tekhnichnyi universytet Ukrayiny "KPI". a200611768; zaival. 08.11.2006; opubl. 27.10.2008; biul. № 20. 19. Byelzaev O. Erhöhung der Leistungsfähigkeit von HSS-Spiralbohrern durch Einsatz der magnetabrasiven Bearbeitung//Dissertation. - 2008. Magdeburg. 20. <http://www.magnetfinish.com>. 21. <http://www.festo.com>.

Поступила (received) 10.10.2015

Гейчук Владислав Николаевич – доктор технических наук, Национальный технический университет Украины "Киевский политехнический институт", доцент, профессор кафедры "Конструирование станков и машин"; адрес: 03056, г. Киев, пр. Победы, 37, корп. 1, к. 230 ; тел.: 067-436-98-44; e-mail: geychukw@mail.ru; [po- roshinw@gmail.com](mailto:poroshinw@gmail.com).

Geichuk Volodymyr – Doctor of Technical Sciences, National Technical University of Ukraine "Kyiv Polytechnic Institute", associate professor, professor of the department "Construction machinery and vehicles"; Address 03056, Kyiv, Pr. Victory, 37, Bldg. 1, k. 230; tel.: 067-436-98-44; e-mail: geychukw@mail.ru; poroshinw@gmail.com.

Мосейчук Виктор Алексеевич – инженер, частное предприятие "Киев Гидропривод"; адрес: 04136, Киев, ул. Северо-Сырецкая, 3; тел.: 067-935-95-35; e-mail: victor_mva@meta.ua.

Moseichuk Viktor – Engineer, the Private Enterprise "Kyiv Hidropryvod"; Address: 04136, Kyiv, Pivnichno-Syretska Street, 3; tel.: 067-935-95-35; e-mail: victor_mva@meta.ua.